

PLANCHE I

EXPLICATION DE LA PLANCHE I.

FIG. 1. — *Pisidium giraudi* BOURGUIGNAT, 1885.

A = spécimen de la stn. 285, baie de Rutuku, \times 15.

B = spécimen de la stn. 133, baie de Katibili, \times 20.

FIG. 2. — *Corbicula fluminalis* (O. F. MÜLLER, 1874).

Spécimen de la stn. 145, Malagarasi, \times 3/2.

FIG. 3. — *Sphaerium hartmanni* (JICKELI, 1874) var. *conicum* HAAS, 1936.

Spécimen de la stn. 145, Malagarasi, \times 7.

FIG. 4. — *Brazzaea anceyi* BOURGUIGNAT, 1885.

Spécimen de la stn. 14, baie de Rutuku, \times 1.

FIG. 5. — *Cælatura (Cælatura) ægyptiaca* (CAILLIAUD, 1827).

A = forme *calathus* BOURGUIGNAT, 1885, stn. 3; baie de Katibili, \times 1.

B = forme *niloticus* CAILLIAUD, 1827, stn. 3; baie de Katibili, \times 1.

C-D = forme *horei* SMITH, 1880, \times 2. Ces photographies des cotypes de E. A SMITH, 1880, ont été effectuées au laboratoire de malacologie du British Museum of Natural History de Londres, sous la direction de W. S. REES.

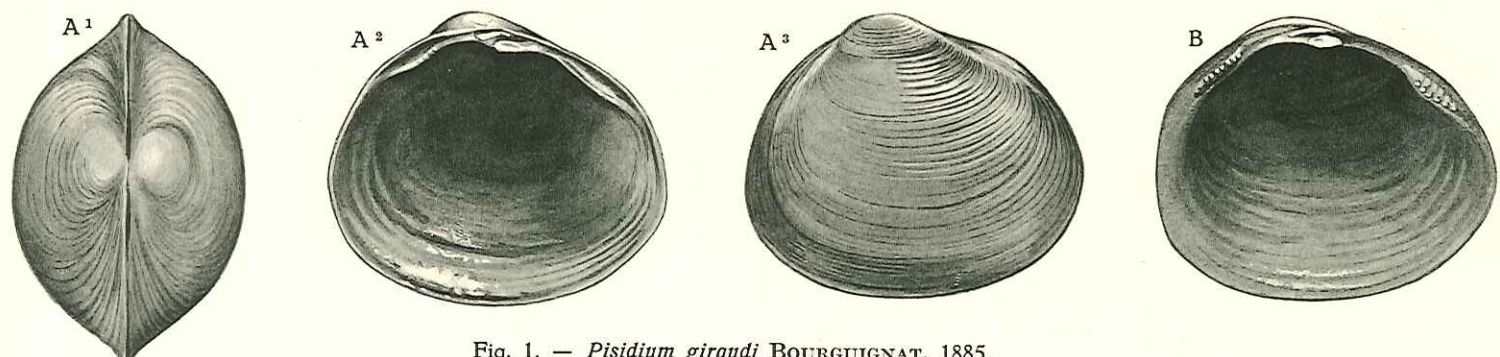


Fig. 1. — *Pisidium giraudi* BOURGUIGNAT, 1885.

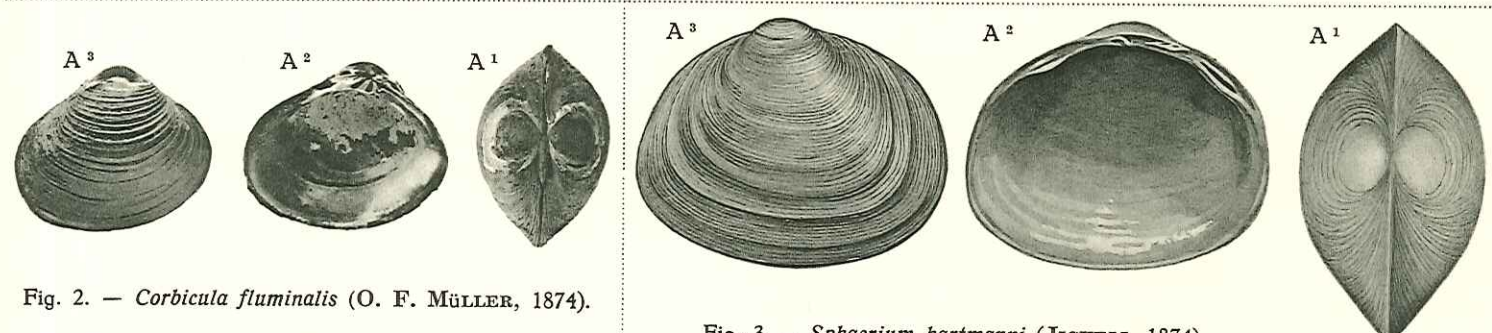


Fig. 2. — *Corbicula fluminalis* (O. F. MÜLLER, 1874).

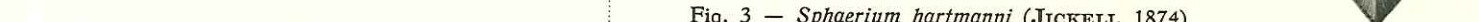


Fig. 3 — *Sphaerium hartmanni* (JICKELI, 1874)
var. *conicum* HAAS, 1936.

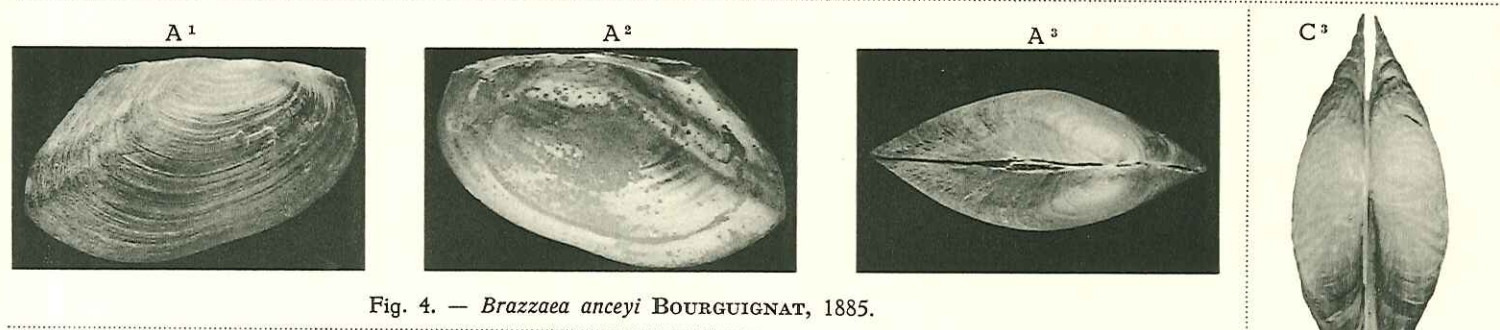
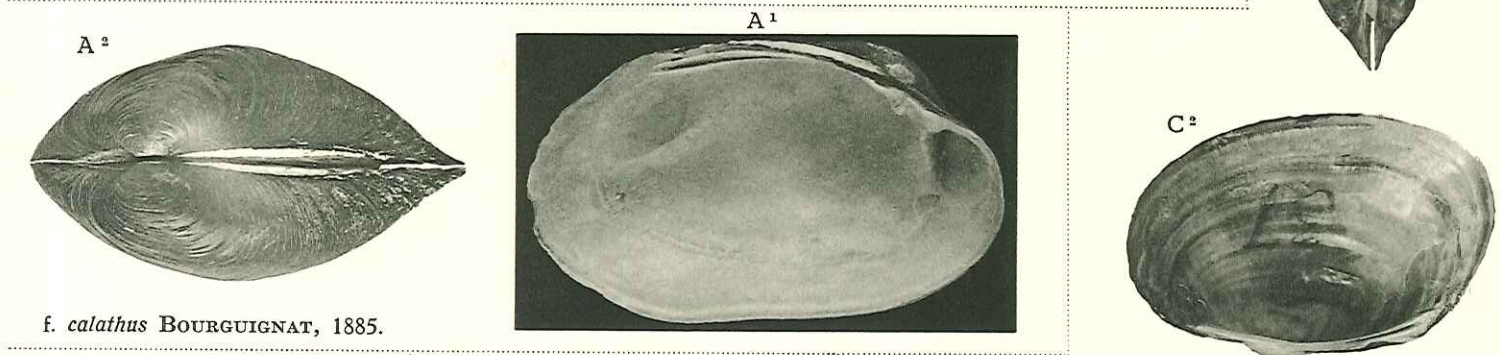
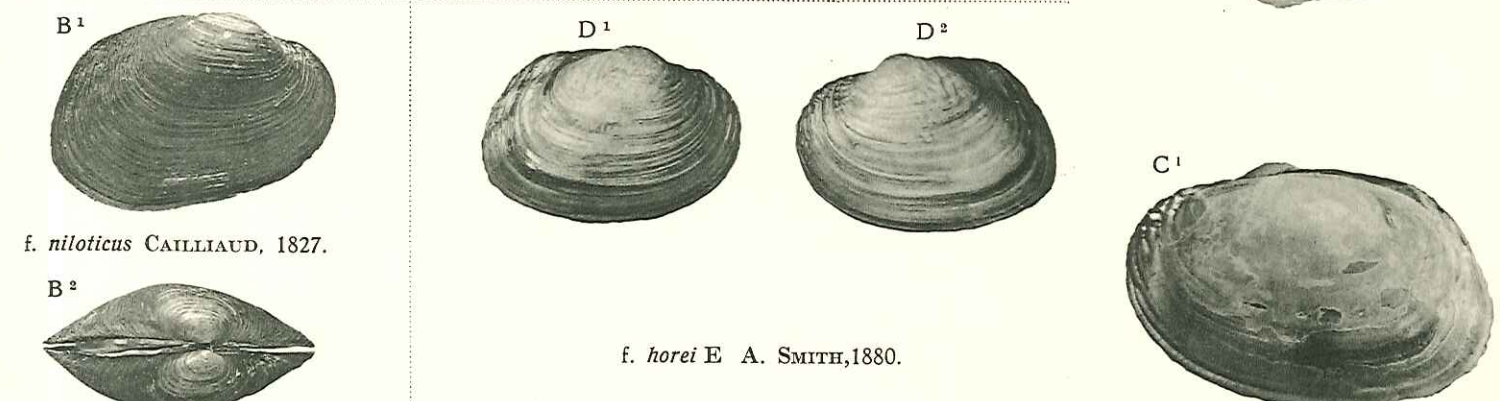


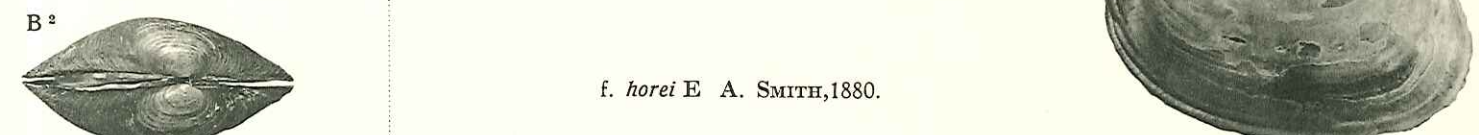
Fig. 4. — *Brazzaea anceyi* BOURGUIGNAT, 1885.



f. *calathus* BOURGUIGNAT, 1885.



f. *niloticus* CAILLIAUD, 1827.



f. *horei* E. A. SMITH, 1880.

Fig. 5. — *Caelatura (Caelatura) aegyptiaca* (CAILLIAUD, 1827).

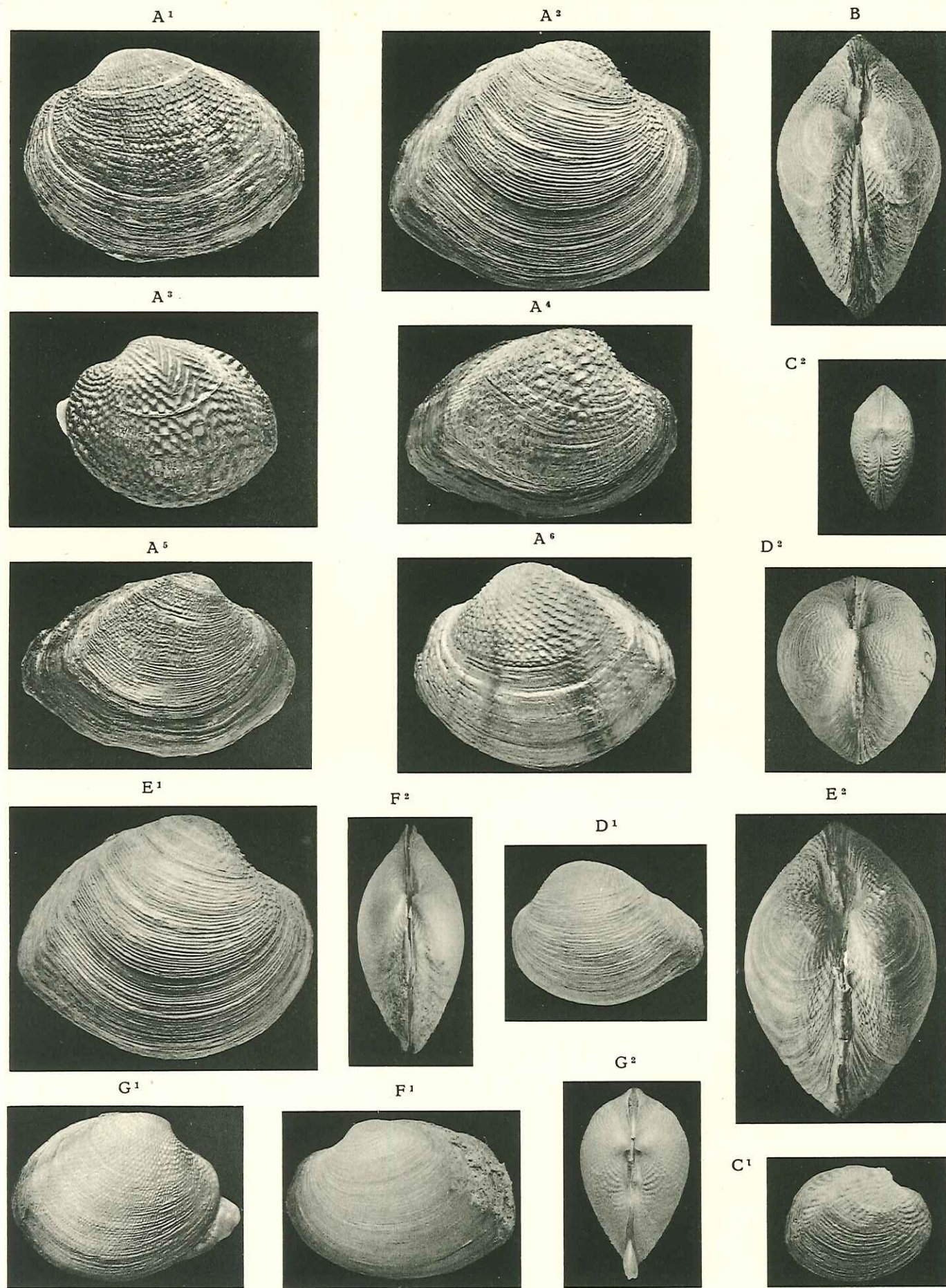
E. LELOUP. — Lamellibranches du lac Tanganika.

PLANCHE II

EXPLICATION DE LA PLANCHE II.

Calatura (Grandidieria) burtoni (WOODWARD, 1859).

- A = Spécimens vivants de la stn. 215, baie de Sumbu, montrant la variabilité de la forme et de la sculpture parmi les coquilles d'une même récolte, $\times 2$.
- B = stn. 215, baie de Sumbu, $\times 2$.
- C = stn. 126, baie de Karema, f. *rotundata* BOURGUIGNAT, 1885, $\times 2$.
- D = stn. 1239 de la mission L. STAPPERS, M. C. B. T., devant Uvira, f. *globosa* nov. f. $\times 2$.
- E = stn. 194, baie de Kala, $\times 2$.
- F = Albertville, $\times 2$.
- G = stn. 15, baie de Tembwe, $\times 2$.
-



Caelatura (Grandidieria) burtoni (WOODWARD, 1859).

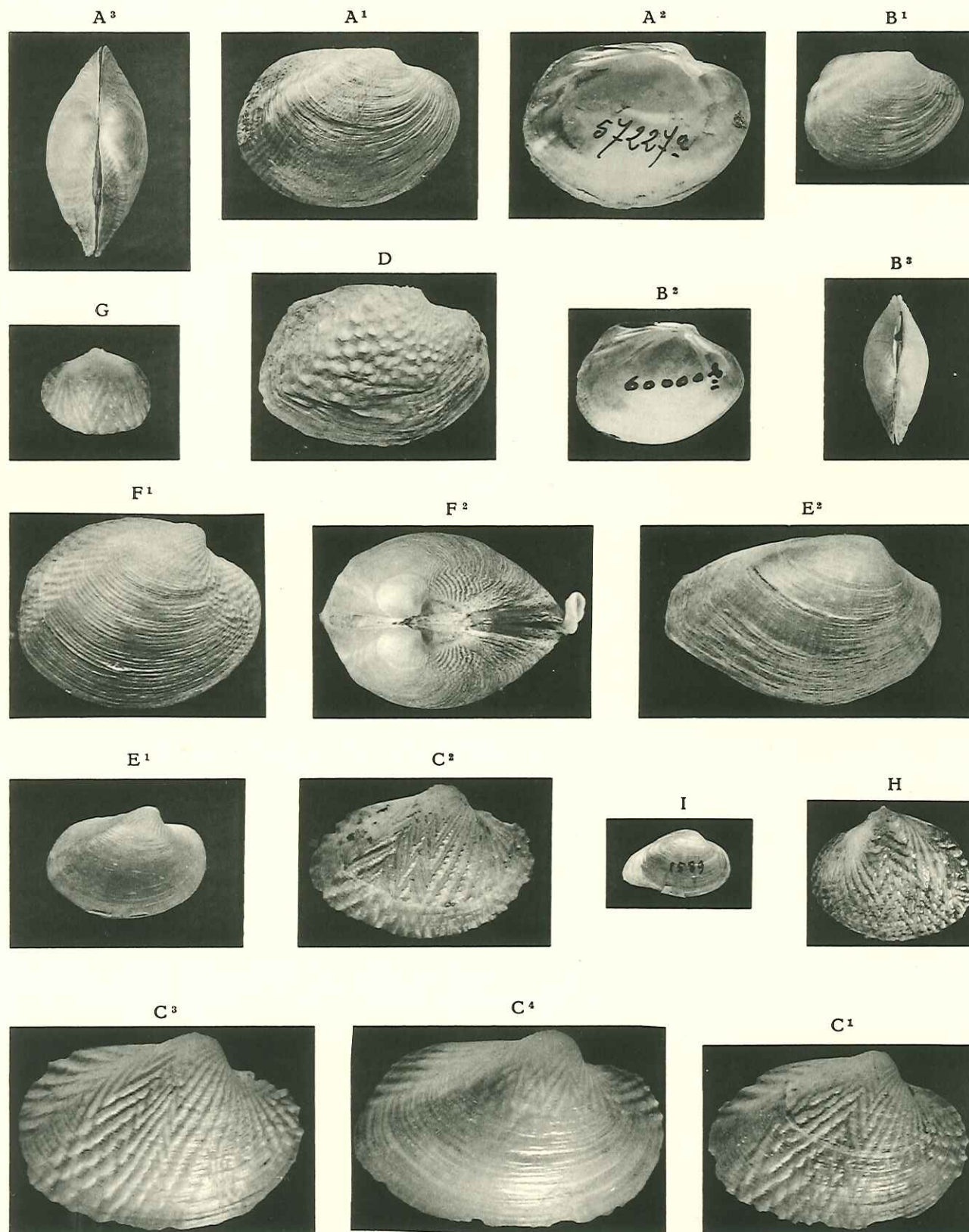
E. LELOUP. — Lamellibranches du lac Tanganika.

PLANCHE III

EXPLICATION DE LA PLANCHE III.

Cælatura (*Grandidieria*) *burtoni* (WOODWARD, 1859).

- A = lac Tanganika : M.C.B.T., n° 57227, \times 1,5.
 - B = Pala : M.C.B.T., n° 60.000, \times 1,5.
 - C = stn. 250, baie de Burton, \times 9.
 - D = stn. 55, Ulombolo, \times 2,5..
 - E = stn. 75, baie de Burton : E¹ = \times 4, E² = \times 2,5.
 - F = stn. 126, baie de Karema : F¹ = \times 4, F² = \times 2,5.
 - G = stn. 213, baie de Sumbu, \times 9.
 - H = stn. 214, baie de Sumbu, \times 9.
 - I = stn. 1589 de la mission L. STAPPERS, f. *elongata* BOURGUIGNAT, 1885, baie de Moba, \times 1,5.
-



Caelatura (Grandidieria) burtoni (WOODWARD, 1859).

E. LELOUP. — Lamellibranches du lac Tanganika.

PLANCHE IV

EXPLICATION DE LA PLANCHE IV.

FIG. 1. -- *Parreysia nyassaensis* (LEA, 1864).

- A = lac Nyasa, \times 2.
- B = stn. 145, Malagarasi, \times 4/3.
- C = lac Nyasa : M.C.B.T., n° 56742, \times 1.
- D = lac Tanganika, \times 2.
- E = Pala, \times 2.

FIG. 2. -- *Aspatharia (Spathopsis) kirki* (ANCEY, 1894).

Spécimen du lac Tanganika, \times 1.

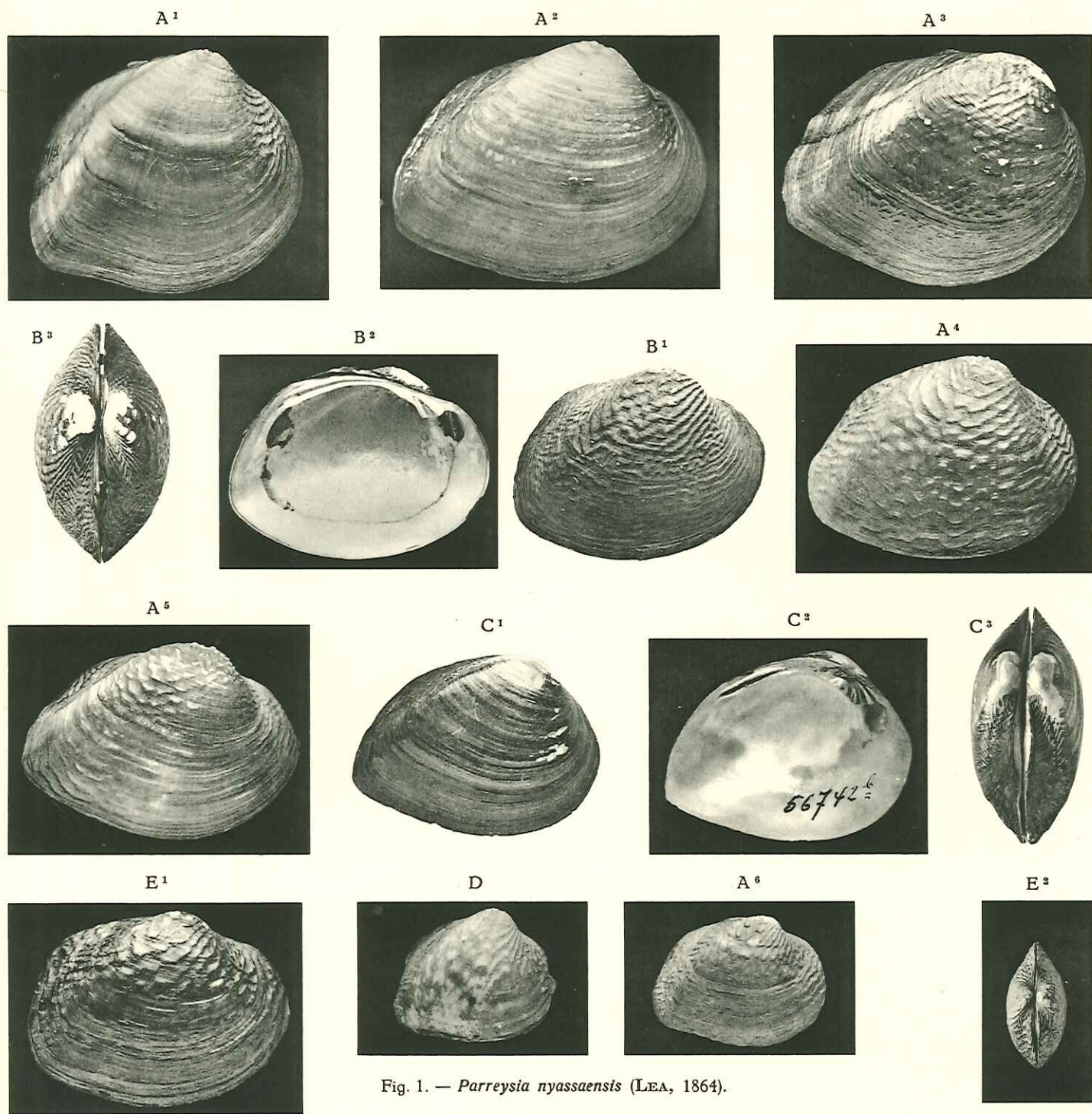


Fig. 1. — *Parreysia nyassaensis* (LEA, 1864).

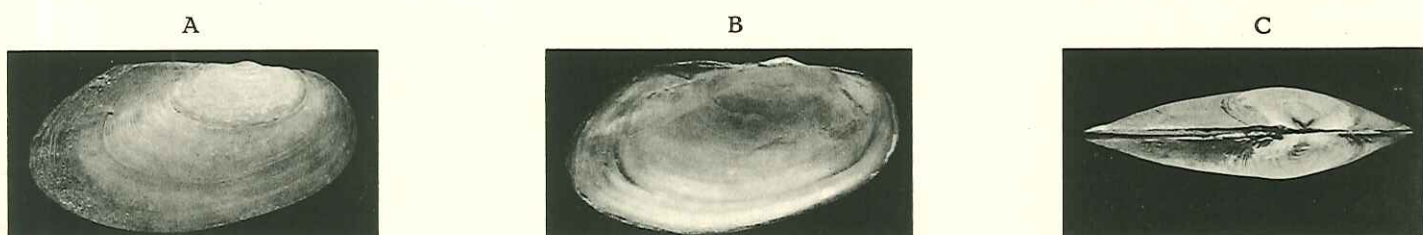


Fig. 2. — *Aspatharia (Spathopsis) kirki* (ANCEY, 1894).

E. LELOUP. — Lamellibranches du lac Tanganika.

PLANCHE V

EXPLICATION DE LA PLANCHE V.

FIG. 1. — *Aspatharia (Spathopsis) rubens* (LAMARCK, 1819).

A = stn. 144, plage Sud Malagarasi, \times 3/4.

B = Mulongo, \times 3/4.

C = Tuku, rivière Uele, \times 3/4.

FIG. 2. — *Iridina (Cameronia) spekii* WOODWARD, 1859.

Spécimen de la stn. 194, baie de Kala, \times 2/3.

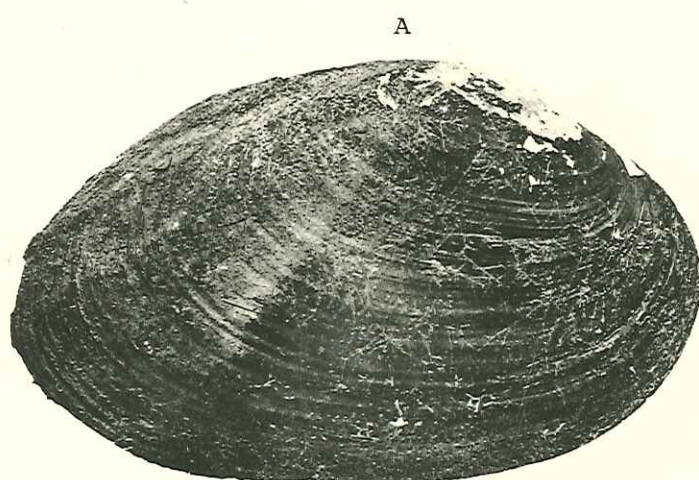
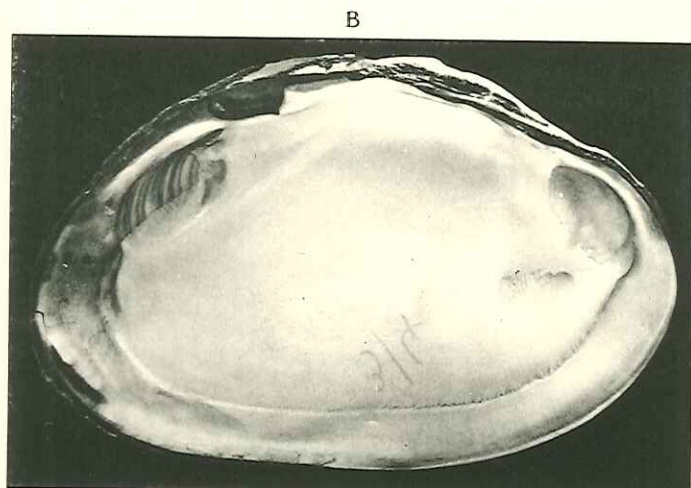


Fig. 1. — *Aspatharia (Spathopsis) rubens* (LAMARCK, 1819).

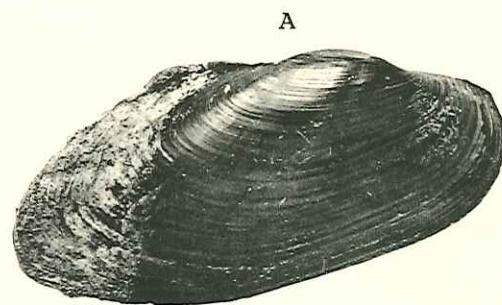
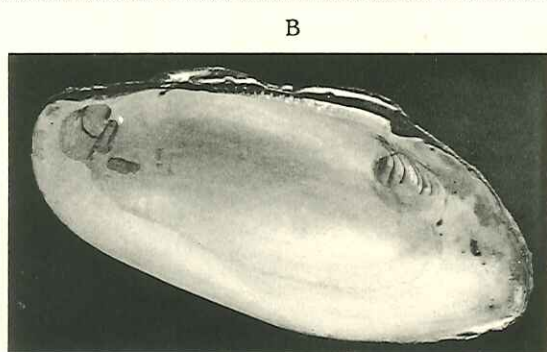
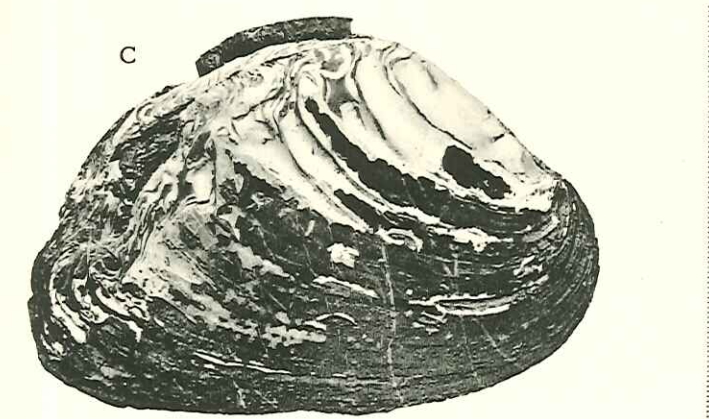


Fig. 2. — *Iridina (Cameronia) spekii* WOODWARD, 1859.

E. LELOUP. — Lamellibranches du lac Tanganika.

PLANCHE VI

EXPLICATION DE LA PLANCHE VI.

FIG. 1. — *Mutela soleniformis* BOURGUIGNAT, 1885.

- A = forme mince, typique, stn. 30, baie de Karema, $\times 1$.
B = forme épaisse, *moineti* BOURGUIGNAT, 1886 : Kibanga (= *Mutela Jouberti*),
 $\times \frac{3}{4}$.

FIG. 2. — *Moncetia lavigeriana* (BOURGUIGNAT, 1886).

- A = stn. 43, baie de Moba, $\times 1$.
B = stn. 1952, mission L. STAPPERS, au S.-W. de Rumonge, $\times 1$.
C = Pala (= *Moncetia Jouberti*), $\times 1$.

FIG. 3. — *Pseudospatha tanganyicensis* (E. A. SMITH, 1880), forme *stappersi* PILSBRY et BEQUAERT, 1927.

- Spécimens de la mission L. STAPPERS, baie de Moba, $\times 1$:
A = stn. 1367 — B = stn. 1589.
-

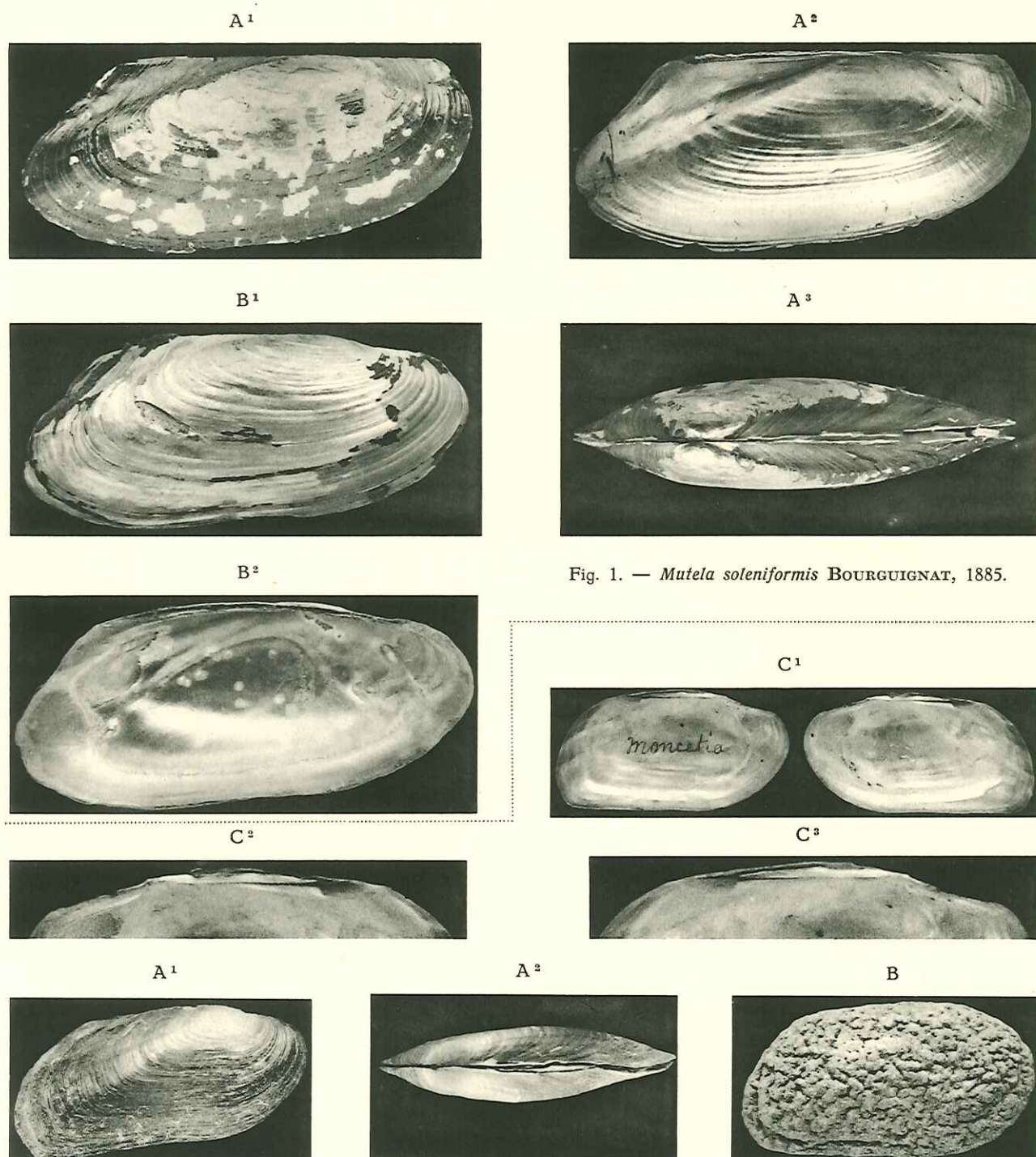


Fig. 1. — *Mutela soleniformis* BOURGUIGNAT, 1885.

Fig. 2. — *Monctetia lavigeriana* BOURGUIGNAT, 1886.

Fig. 3. — *Pseudospatha tanganyicensis* (E. A. SMITH, 1880)
var. *stappersi* PILSBRY et BEQUAERT, 1927.

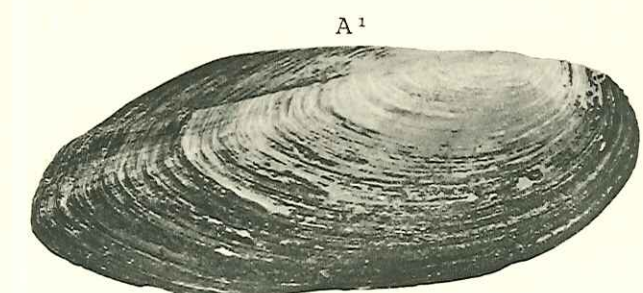
E. LELOUP. — Lamellibranches du lac Tanganika.

PLANCHE VII

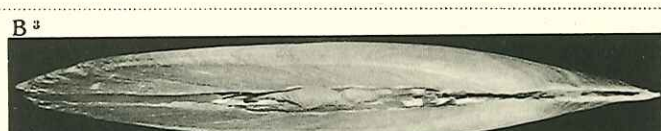
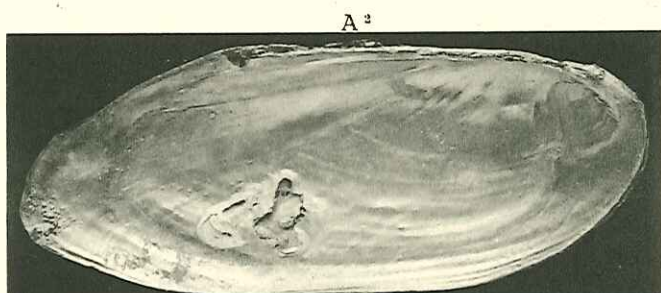
EXPLICATION DE LA PLANCHE VII.

Pseudospatha tanganyicensis (E. A. SMITH, 1880).

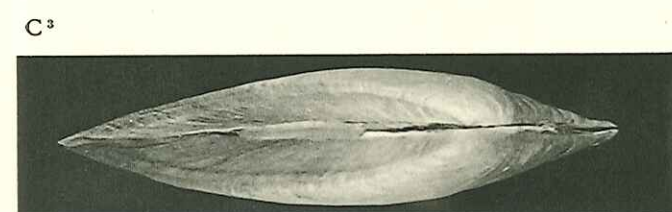
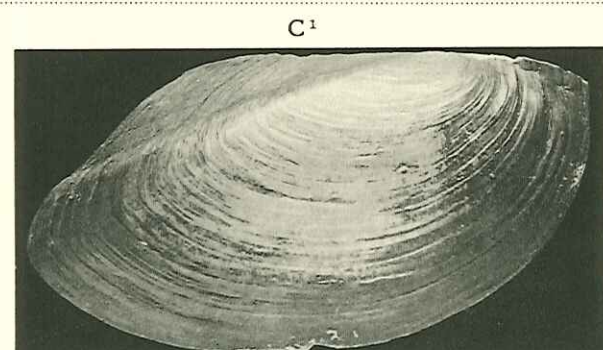
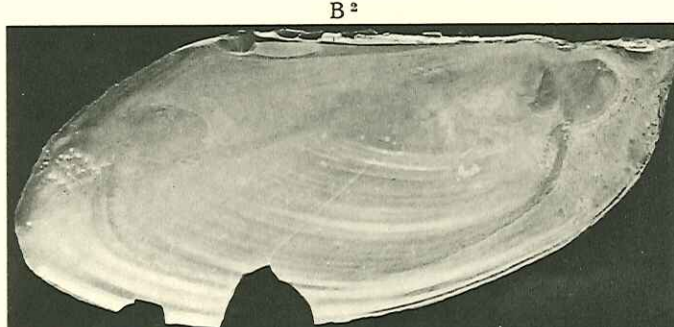
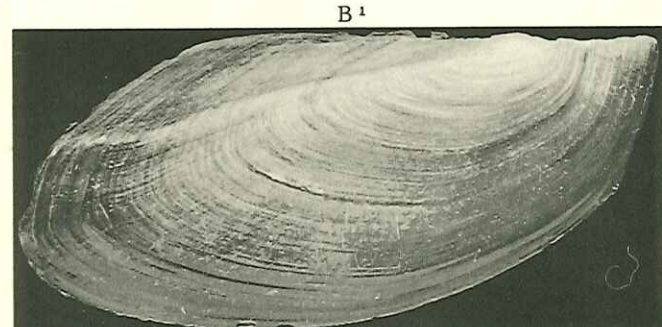
- A = forme *typica*; Pala, $\times 3/4$.
 - B = forme *livingstoniana* BOURGUIGNAT, 1883; stn. 112, baie de Tembwe $\times 1$.
 - C = forme *bourguignati* BOURGUIGNAT, 1886; Kibanga, $\times 1$.
 - D = forme *subtriangularis* BOURGUIGNAT, 1886; stn. 204, baie de Mbete, $\times 1$.
-



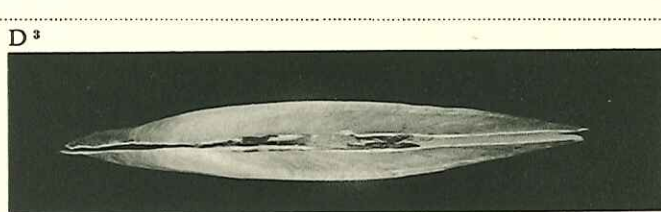
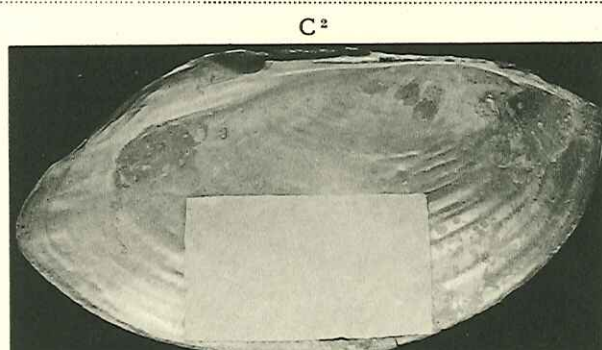
f. typica



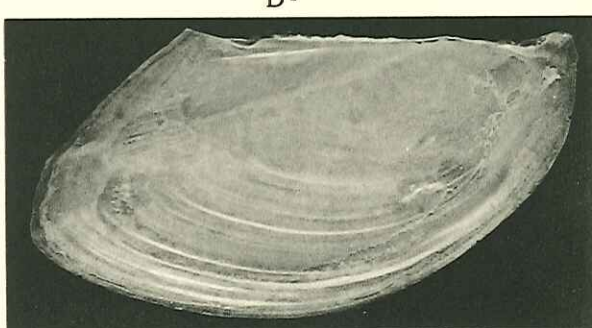
f. livingstoniana BOURGUIGNAT, 1883.



f. bourguignati BOURGUIGNAT, 1886.



f. subtriangularis BOURGUIGNAT, 1886.



Pseudospatha tanganyicensis (E. A. SMITH, 1880).

E. LELOUP. — Lamellibranches du lac Tanganika.

PLANCHE VIII

EXPLICATION DE LA PLANCHE VIII.

FIG. 1. — Valves d'*Iridina (Cameronia) spekii* WOODWARD, 1859, provenant de Sigunga Point, spécimens du B.M.N.H.L., $\times \frac{3}{4}$.

FIG. 2. — *Pseudospatha tanganyicensis* (E. A. SMITH, 1880).
Forme rappelant les coquilles du genre *Moncetia*; stn. 117, baie de Rutuku, $\times 1$.

FIG. 3. — *Brazzaea anceyi* BOURGUIGNAT, 1885.
Spécimens du B.M.N.H.L., lac Victoria, $\times 1$.

FIG. 4. — *Aspatharia (Aspatharia) sinuata* (von MARTENS, 1883).
Spécimen de la stn. 349, Tengo, marais près de la rivière Lubalaye, $\times 1$.

FIG. 5. — *Pseudospatha tanganyicensis* (E. A. SMITH, 1880).
A = forme *bequaerti* f. nov.; stn. 1264, mission L. STAPPERS, devant la Ruzizi, $\times 1$.

B = forme *stappersi* PILSBRY et BEQUAERT, 1927; spécimen du B.M.N.H.L., lac Tanganyika, $\times 1$.

FIG. 6. — Amoncellement de coquilles et de valves sur la plage Nord de l'estuaire de la rivière Kafumbwe, Utinta; stn. 128. (Photo L. VAN MEEL.)

FIG. 7. — Coquilles et valves d'*Iridina spekii* WOODWARD, 1859, rejetées par des pêcheurs indigènes sur la plage vaseuse comprise entre le lac Tanganyika et les ateliers C.F.L. Albertville. (Photo L. VAN MEEL.)

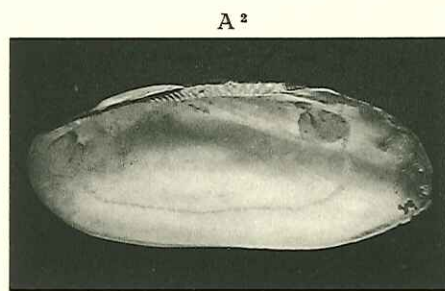
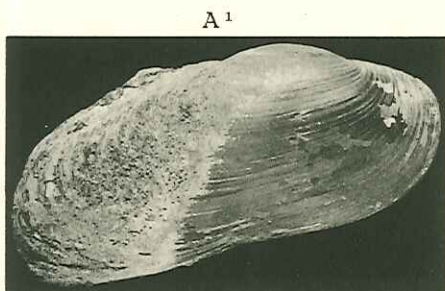


Fig. 1. — *Iridina (Cameronia) spekii* WOODWARD, 1859.

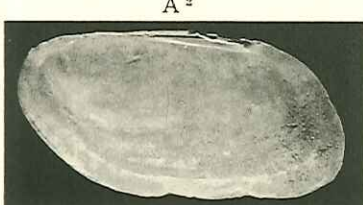
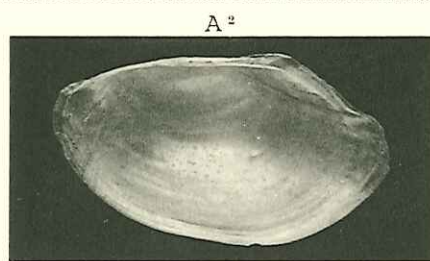
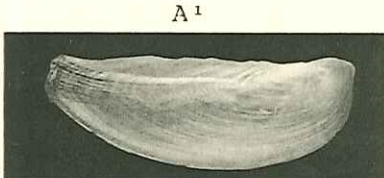


Fig. 2. — *Pseudospatha tanganyicensis* (E. A. SMITH, 1880).



Fig. 3. — *Brazzaea anceyi* BOURGUIGNAT, 1885.

Fig. 4. — *Aspatharia (Aspatharia) sinuata* (von MARTENS, 1883).



f. *bequaerti* f. nov.

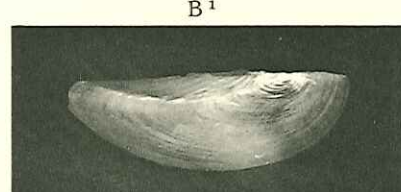
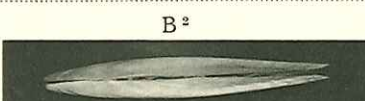


Fig. 5. — *Pseudospatha tanganyicensis* (E. A. SMITH, 1880).



Plage d'Utinta



Plage d'Albertville

E. LELOUP. — Lamellibranches du lac Tanganika.